

DEK-OŚR-I'. 6222.25.2025

Warszawa, dn. 2025-01-30

Orange Polska S.A.
Al. Jerozolimskie 160
02-326 Warszawa

Pełnomocnik:
Pełnomocnictwo numer: 176/01/21
z dnia: 2021-01-13

dane do korespondencji:
NetWorks Sp. z o.o.
ul. Józefa Piłsudskiego 3
00-728 Warszawa
tel. 518427631

Prezydent Miasta Łodzi
Urząd Miasta Łodzi
ul. Piłsudskiego 100
90-926 Łódź

Dotyczy: ustawowego obowiązku, wynikającego z art. 152 ust. 1 i ust. 7 w związku z ust. 6 pkt 1c ustawy z dnia 27 kwietnia 2001r – Prawo ochrony środowiska (Dz.U. 2024 poz. 54).

Działając z upoważnienia Orange Polska S.A. z siedzibą Al. Jerozolimskie 160, 02-326 Warszawa, **informuję o zmianie danych w zakresie wielkości i rodzaju emisji** dla instalacji radiokomunikacyjnej **9898 (90998N!) PIWNIKA NEW (WLD_LODZ_PRZYBYSZEW176)** zlokalizowanej w miejscowości ŁÓDŹ, ul. STANISŁAWA PRZYBYSZEWSKIEGO 176/178 DZ.231/39. W stosunku do informacji zawartej w zgłoszeniu realizowanym dla tej instalacji w trybie art. 152 ust. 1 i 5 ustawy z dnia 27 kwietnia 2001r – Prawo ochrony środowiska (Dz.U. 2024 poz. 54), dane ulegają zmianie w następujący sposób:

9. Wielkość i rodzaj emisji²⁾:

Pole elektromagnetyczne. EIRP poszczególnych anten zostało podane w pkt 12, tj.

Lp.	Równoważna moc promieniowana izotropowo (EIRP) [W]
1.	21609
2.	57020
3.	21609
4.	57020
5.	21609
6.	57020
7.	1779

12. Szczegółowe dane, odpowiednio do rodzaju instalacji, zgodne z wymaganiami określonymi w załączniku nr 2 do Rozporządzenia:

Lp.	1)	2)	3)	4)	5)	
	Współrzędne geograficzne	Częstotliwość lub zakresy częstotliwości pracy instalacji [MHz]	Wysokość środka elektrycznego anteny [m n.p.t.]	Równoważna moc promieniowana izotropowo (EIRP) [W]	Azymut [°]	Kąt pochylenia lub zakresy kątów pochylenia [°]
1.	19°30'18.7" 51°45'3.1"	900/1800/2100/ 2600	22.2	21609	90	2-8/2-8/ 2-8/2-8
2.	19°30'18.7" 51°45'3.1"	3600	24.1	57020	90	0-8
3.	19°30'18.6" 51°45'3.2"	900/1800/2100/ 2600	22.2	21609	225	2-8/2-8/ 2-8/2-8
4.	19°30'18.6" 51°45'3.2"	3600	24.1	57020	225	0-8
5.	19°30'18.7" 51°45'3.2"	900/1800/2100/ 2600	22.2	21609	320	2-8/2-8/ 2-8/2-8
6.	19°30'18.7" 51°45'3.2"	3600	24.1	57020	320	0-8
7.	19°30'18.7" 51°45'3.1"	80000	25.4	1779	129*	nd.

*) tolerancja azymutu od -10° do +10°.

Informuję, iż dokonane zmiany w zakresie wielkości i rodzaju emisji przedmiotowej instalacji nie powodują zmiany instalacji w sposób istotny zgodnie z art. 3 pkt 7 ustawy Poś.

W załączniku przesyłam:

1. Pełnomocnictwo
2. Kopia potwierdzenia wniesienia opłaty skarbowej.
3. Sprawozdanie z pomiarów pól elektromagnetycznych wykonanych dla celów ochrony środowiska.

Otrzymują:

1. a/a
2. adresat



Signed by /
Podpisano przez:

Date / Data:
2025-01-30 12:50



NetWorks Sp. z o.o.
Laboratorium Badań Środowiskowych
ul. Józefa Piłsudskiego 3
00-728 Warszawa
e-mail: Laboratorium@networks.pl



AB 419

S P R A W O Z D A N I E 10394/2024/OS
Z POMIARÓW PÓL ELEKTROMAGNETYCZNYCH
WYKONANYCH DLA POTRZEB OCHRONY ŚRODOWISKA

Badany obiekt: Instalacja radiokomunikacyjna Orange Polska S.A.
Numer i nazwa: 9898 (90998N!) PIWNIKA NEW (WLD_LODZ_PRZYBYSZEW176)
Adres: ŁÓDŹ, STANISŁAWA PRZYBYSZEWSKIEGO 176/178 DZ.231/39, Powiat m. Łódź,
WOJ. ŁÓDZKIE

Data wykonania pomiarów: 2025-01-23

Sprawozdanie z badań bez pisemnej zgody laboratorium nie może być powielane inaczej niż w całości.
Wynik przedstawione w niniejszym sprawozdaniu odnoszą się wyłącznie do badanego obiektu i do warunków i konfiguracji
urządzeń w dniu wykonywania pomiarów.

1. Właściciel badanego obiektu:

Orange Polska S.A., Al. Jerozolimskie 160, 02-326 Warszawa

2. Zleceniodawca:

Orange Polska S.A., Al. Jerozolimskie 160, 02-326 Warszawa

3. Przedstawiciel zleceniodawcy:

NetWorks Sp. z o.o.

4. Zakres zlecenia:

Wykonanie badania i opracowanie sprawozdania z pomiarów natężenia pola elektrycznego i pola magnetycznego dla instalacji radiokomunikacyjnej Orange Polska S.A. zlokalizowanej w miejscowości ŁÓDŹ, STANISŁAWA PRZYBYSZEWSKIEGO 176/178 DZ.231/39.

5. Cel zlecenia:

Wykonanie pomiarów pól elektromagnetycznych w otoczeniu instalacji radiokomunikacyjnej 9898 (90998N!) PIWNIKA NEW (WLD_LODZ_PRZYBYSZEW176) w odniesieniu do wymagań określonych w *Rozporządzeniu Ministra Klimatu z dnia 17 lutego 2020 r. w sprawie sposobów sprawdzania dotrzymania dopuszczalnych poziomów pól elektromagnetycznych w środowisku* (Dz.U. 2022 poz. 2630).

6. Pomiary zostały wykonane przez:

7. Informacje o źródłach pól elektromagnetycznych

7.1. Sposób identyfikacji badanych źródeł pól elektromagnetycznych

Identyfikacji źródeł i parametrów technicznych dokonano na podstawie analizy dokumentacji dotyczącej zlecenia oraz obserwacji miejsca wykonywania badań.

7.2. Opis miejsca zainstalowania anten i urządzeń technicznych. Opis obiektu badań i jego otoczenia

Instalacja radiokomunikacyjna zlokalizowana jest na dachu. Anteny zawieszono na maszcie usytowanym na dachu budynku. Urządzenia sterujące oraz zasilające zainstalowano w szafie outdoor na dachu budynku. Wokół instalacji znajdują się hale i budynki usługowe.

Instalacja radiokomunikacyjna jest obiektem bezobsługowym. Okresowe stanowiska pracy związane są z prowadzonymi w zależności od potrzeb konserwacjami, przeglądami, strojeniem i naprawami.

Sprawozdanie z badań bez pisemnej zgody laboratorium nie może być powielane inaczej niż w całości.
Wynik przedstawione w niniejszym sprawozdaniu odnoszą się wyłącznie do badanego obiektu i do warunków i konfiguracji urządzeń w dniu wykonywania pomiarów.

7.3. Parametry techniczne źródła pola elektromagnetycznego

Dane przedstawiające maksymalne parametry pracy instalacji przekazane przez zleceniodawcę:

Parametry systemu nadawczo-odbiorczego:

Charakterystyka promieniowania		kierunkowa					
Rzeczywisty czas pracy [h/dobę]		24					
Warunki pracy		znamionowe					
Rodzaj wytwarzanego pola		stacjonarne					
Lp.	Częstotliwość lub zakresy częstotliwości pracy [MHz]	Typ/producent anteny	liczba anten	Azymut [°]	kąt pochylenia [°]	Wysokość środka elektrycznego anteny [m n.p.t.]	Równoważna moc promieniowana izotropowo (EIRP) [W]
1	900/1800/2100 /2600	ASI4518R39v07 Huawei	1	90	2-8**/2-8**/2-8**/2-8**	22.2	21609
2	3600	AAU5339W Huawei	1	90	0-8**	24.1	57020
3	900/1800/2100 /2600	ASI4518R39v07 Huawei	1	225	2-8**/2-8**/2-8**/2-8**	22.2	21609
4	3600	AAU5339W Huawei	1	225	0-8**	24.1	57020
5	900/1800/2100 /2600	ASI4518R39v07 Huawei	1	320	2-8**/2-8**/2-8**/2-8**	22.2	21609
6	3600	AAU5339W Huawei	1	320	0-8**	24.1	57020

* wskazane wartości kąta pochylenia anten, zgodnie z informacją uzyskaną od zleceniodawcy, są wartościami stałymi

** pomiary wykonano zgodnie z pkt 13., ppkt 2 załącznika do Rozporządzenia Ministra Klimatu z dnia 17 lutego 2020 r. (Dz. U. 2022, poz. 2630).

Parametry radiolinii:

Charakterystyka promieniowania		kierunkowa					
Rzeczywisty czas pracy [h/dobę]		24					
Warunki pracy		znamionowe					
Rodzaj wytwarzanego pola		stacjonarne					
Lp.	Linia radiowa			Antena			
	Typ/ Producent	Częstotliwość pracy [GHz]	Równoważna moc promieniowana izotropowo (EIRP) [W]	Typ/ producent	Średnica anteny [m]	Azymut [°]	Wysokość zainstalowania n.p.t [m]
1.	RTN 380AX DC 70/80GHz 500MHz Huawei	80	1779	A80D03 Huawei	0.3	129	25.4

7.4 Inne źródła pól elektromagnetycznych

Na podstawie informacji otrzymanych od użytkownika oraz obserwacji otoczenia miejsca wykonywania pomiarów nie stwierdzono występowania innych źródeł pola-EM

8. Opis pomiarów

8.1. Metoda badań

Zgodna z rozporządzeniem Ministra Klimatu z dnia 17 lutego 2020 r. w sprawie sposobów sprawdzania dotrzymania dopuszczalnych poziomów pól elektromagnetycznych w środowisku (Dz.U. 2022 poz. 2630), określona w pkt 25 ppkt 1 załącznika do niniejszego rozporządzenia.

Sprawozdanie z badań bez pisemnej zgody laboratorium nie może być powielane inaczej niż w całości.
 Wynik przedstawione w niniejszym sprawozdaniu odnoszą się wyłącznie do badanego obiektu i do warunków i konfiguracji urządzeń w dniu wykonywania pomiarów.

8.2. Termin pomiarów i warunki środowiskowe

Podczas wykonywania pomiarów pól elektromagnetycznych nie występowały opady atmosferyczne. Wyniki pomiaru parametrów pogodowych przedstawia poniższa tabela:

Data [rrrr-mm-dd]	Godzina [hh:mm-hh:mm]	Warunki środowiskowe			
		Temperatura [°C]		Wilgotność względna [%]	
2025-01-23	13:10-14:40	Przed pomiarem	Po pomiarach	Przed pomiarem	Po pomiarach
		2.5	2.8	65.5	64.2

Przedstawione wyżej warunki środowiskowe, występujące podczas wykonywania pomiarów pól elektromagnetycznych, są zgodne ze specyfikacją techniczną użytego zestawu pomiarowego.

8.3. Warunki pracy urządzeń nadawczych

Podczas pomiarów w przypadku uzyskania wyniku pomiaru szerokopasmowego wykonanego zastosowaną metodą, dla zakresów częstotliwości od 10 MHz do 300 GHz, powiększonego o rozszerzoną niepewność pomiaru U dla współczynnika rozszerzenia $k = 2$ przekraczającego 70% najniższej dopuszczalnej wartości składowej elektrycznej lub magnetycznej pola dla objętych pomiarami zakresów częstotliwości, uwzględnia się poprawki pomiarowe przekazane przez zleceniodawcę, umożliwiające uwzględnienie maksymalnych parametrów pracy instalacji zgodnie z pkt 7 załącznika do Rozporządzeniem Ministra Klimatu z dnia 17 lutego 2020 r. w sprawie sposobów sprawdzania dotrzymania dopuszczalnych poziomów pól elektromagnetycznych w środowisku (Dz. U. 2022, poz. 2630) zaznaczając, że wymagane jest wykonanie pomiaru z wykorzystaniem miernika selektywnego. W przypadku uzyskania wyniku pomiaru szerokopasmowego wykonanego zastosowaną metodą, dla zakresów częstotliwości od 10 MHz do 300 GHz, powiększonego o rozszerzoną niepewność pomiaru U dla współczynnika rozszerzenia $k = 2$ nieprzekraczającego 70% najniższej dopuszczalnej wartości składowej elektrycznej lub magnetycznej pola dla objętych pomiarami zakresów częstotliwości, nie uwzględnia się poprawek pomiarowych.

8.4. Wyposażenie pomiarowe

Zestaw pomiarowy służący do pomiaru natężenia składowej elektrycznej pola elektromagnetycznego złożony z szerokopasmowego miernika i sondy pomiarowej:

Oznaczenie miernika	Producent	Model	Numer fabryczny	Oznaczenie sondy	Producent	Model	Numer fabryczny
MW-12	Wavecontrol	Miernik pól elektromagnetycznych SMP3	23SL0223	SW-23	Wavecontrol	Sonda WPF90	23WP260007

Mierniki natężenia pola elektromagnetycznego podlegają okresowemu sprawdzeniu zgodnie z procedurą wewnętrzną P-03 i PB-01. Świadectwo wzorcowania zestawu pomiarowego z dnia 11 września 2023 o numerze LWIMP/W/332/22 wydane przez Politechnikę Wrocławską.
Data ważności świadectwa wzorcowania: 11 września 2025 (zgodnie z procedurą wewnętrzną P-03).

Oznaczenie miernika	Producent	Model	Numer fabryczny	Oznaczenie sondy	Producent	Model	Numer fabryczny
MW-12	Wavecontrol	Miernik pól elektromagnetycznych SMP3	23SL0223	SW-24	Wavecontrol	Sonda WPF6-HP	23WP060416

Mierniki natężenia pola elektromagnetycznego podlegają okresowemu sprawdzeniu zgodnie z procedurą wewnętrzną P-03 i PB-01. Świadectwo wzorcowania zestawu pomiarowego z dnia 11 września 2023 o numerze LWIMP/W/332/22 wydane przez Politechnikę Wrocławską.
Data ważności świadectwa wzorcowania: 11 września 2025 (zgodnie z procedurą wewnętrzną P-03).

Termohigrometr:

Oznaczenie:	TH-24	Producent:	AZ INSTRUMENT CORP	Model:	Termohigrometr AZ8706
-------------	-------	------------	--------------------	--------	-----------------------

Data ważności świadectwa wzorcowania: 12 lipca 2025 (zgodnie z procedurą wewnętrzną P-03).

Sprawozdanie z badań bez pisemnej zgody laboratorium nie może być powielane inaczej niż w całości.
Wynik przedstawione w niniejszym sprawozdaniu odnoszą się wyłącznie do badanego obiektu i do warunków i konfiguracji urządzeń w dniu wykonywania pomiarów.

Dalmierz:

Oznaczenie	Producent	Typ	Numer seryjny	Nr świadectwa wzorcowania	Data świadectwa wzorcowania
D-22	Leica	Dalmierz Leica Disto D510	1030440527	Z3- Z32.4180.152.2023.3253.2	23 października 2023

Data ważności świadectwa wzorcowania: 23 października 2033 (zgodnie z procedurą wewnętrzną P-03).

Odbiornik GNSS:

Odbiornik GNSS wbudowany w miernik natężenia pola elektromagnetycznego użyty podczas pomiarów	Producent	Model
	UBlox	MAX-M8Q

Odbiorniki podlegają okresowemu sprawdzeniu zgodnie z procedurą wewnętrzną P-03.

9. Wyniki pomiarów

Pole elektryczne

Nr pionu	Opis umiejscowienia pionu (punktu pomiarowego)	Wysokość pomiaru [m]	Zmierzona wartość natężenia pola elektrycznego E [V/m] ^{1,5}			Wartość natężenia pola elektrycznego powiększona o niepewność pomiaru ⁴ E [V/m]	Wskaźnikowa wartość poziomu emisji pól elektromagnetycznych WMe ³	Współrzędne geograficzne pionu (punktu pomiarowego) ²
			Sonda SW-23	Sonda SW-24	Wartość			
1	DPP - budynek instalacji, pomieszczenie biurowe, okno otwarte, piętro 2/2, ul.Przybyszewskiego 176	0.3-2.0	<1.0*	<1.0*	<1.0*	1.3	0.05	51°45'3.2" 19°30'18.7"
2	DPP - budynek instalacji, klatka schodowa, okno trwale zamknięte, piętro 2/2, ul. Przybyszewskiego 176	0.3-2.0	<1.0*	<1.0*	<1.0*	1.3	0.05	51°45'3.2" 19°30'19.8"
3	GKP w odległości poziomej 56m od anteny sektorowej az. 90°	0.3-2.0	<1.0*	<1.0*	<1.0*	1.3	0.05	51°45'3.2" 19°30'21.6"
4	GKP w odległości poziomej 100m od anteny sektorowej az. 90°	2.0	1.8	1.8	1.8	2.3	0.08	51°45'3.2" 19°30'24.1"
-	GKP w odległości poziomej 128m od anteny sektorowej az. 90°	2.0	2.0	2.0	2.0	2.6	0.09	51°45'3.2" 19°30'25.6"
6	GKP w odległości poziomej 17m od anteny radioliniowej az. 129°	0.3-2.0	<1.0*	<1.0*	<1.0*	1.3	0.05	51°45'2.9" 19°30'19.4"
7	GKP w odległości poziomej 25m od anteny sektorowej az. 225°	0.3-2.0	<1.0*	<1.0*	<1.0*	1.3	0.05	51°45'2.5" 19°30'17.6"
8	GKP w odległości poziomej 58m od anteny sektorowej az. 225°	2.0	1.7	1.7	1.7	2.2	0.08	51°45'1.8" 19°30'16.6"
9	GKP w odległości poziomej 111m od anteny sektorowej az. 225°	0.3-2.0	<1.0*	<1.0*	<1.0*	1.3	0.05	51°45'0.7" 19°30'14.4"

Sprawozdanie z badań bez pisemnej zgody laboratorium nie może być powielane inaczej niż w całości.
 Wynik przedstawione w niniejszym sprawozdaniu odnoszą się wyłącznie do badanego obiektu i do warunków i konfiguracji urządzeń w dniu wykonywania pomiarów.

10	GKP w odległości poziomej 127m od anteny sektorowej az. 225°	0,3-2,0	<1,0*	<1,0*	<1,0*	1,3	0,05	51°45'0,4" 19°30'14,0"
-	GKP w odległości poziomej 161m od anteny sektorowej az. 225°	0,3-2,0	<1,0*	<1,0*	<1,0*	1,3	0,05	51°44'59,6" 19°30'12,6"
12	GKP w odległości poziomej 36m od anteny sektorowej az. 320°	0,3-2,0	<1,0*	<1,0*	<1,0*	1,3	0,05	51°45'4,0" 19°30'17,6"
13	GKP w odległości poziomej 72m od anteny sektorowej az. 320°	0,3-2,0	<1,0*	<1,0*	<1,0*	1,3	0,05	51°45'5,0" 19°30'16,2"
-	GKP w odległości poziomej 246m od anteny sektorowej az. 320°	0,3-2,0	<1,0*	<1,0*	<1,0*	1,3	0,05	51°45'9,4" 19°30'10,4"
15	PKP na az. 104° w odległości poziomej 30m od anteny sektorowej az. 225°	0,3-2,0	<1,0*	<1,0*	<1,0*	1,3	0,05	51°45'2,9" 19°30'20,2"
16	PKP na az. 119° w odległości poziomej 23m od anteny sektorowej az. 90°	0,3-2,0	<1,0*	<1,0*	<1,0*	1,3	0,05	51°45'2,9" 19°30'19,8"
17	PKP na az. 136° w odległości poziomej 12m od anteny sektorowej az. 90°	0,3-2,0	<1,0*	<1,0*	<1,0*	1,3	0,05	51°45'2,9" 19°30'19,1"
18	PKP na az. 179° w odległości poziomej 14m od anteny sektorowej az. 225°	0,3-2,0	<1,0*	<1,0*	<1,0*	1,3	0,05	51°45'2,5" 19°30'18,7"
19	PKP na az. 195° w odległości poziomej 11m od anteny sektorowej az. 225°	0,3-2,0	<1,0*	<1,0*	<1,0*	1,3	0,05	51°45'2,9" 19°30'18,4"
20	PKP na az. 210° w odległości poziomej 29m od anteny sektorowej az. 225°	0,3-2,0	<1,0*	<1,0*	<1,0*	1,3	0,05	51°45'2,2" 19°30'18,0"
21	PKP na az. 240° w odległości poziomej 28m od anteny sektorowej az. 225°	2,0	1,3	1,3	1,3	1,7	0,06	51°45'2,5" 19°30'17,3"
22	PKP na az. 255° w odległości poziomej 27m od anteny sektorowej az. 225°	0,3-2,0	<1,0*	<1,0*	<1,0*	1,3	0,05	51°45'2,9" 19°30'17,3"
23	PKP na az. 271° w odległości poziomej 28m od anteny sektorowej az. 225°	0,3-2,0	<1,0*	<1,0*	<1,0*	1,3	0,05	51°45'3,2" 19°30'17,3"
24	PKP na az. 274° w odległości poziomej 26m od anteny sektorowej az. 320°	0,3-2,0	<1,0*	<1,0*	<1,0*	1,3	0,05	51°45'3,2" 19°30'17,3"
25	PKP na az. 290° w odległości poziomej 28m od anteny sektorowej az. 320°	0,3-2,0	<1,0*	<1,0*	<1,0*	1,3	0,05	51°45'3,6" 19°30'17,3"
26	PKP na az. 305° w odległości poziomej 28m od anteny sektorowej az. 320°	0,3-2,0	<1,0*	<1,0*	<1,0*	1,3	0,05	51°45'3,6" 19°30'17,6"
27	PKP na az. 335° w odległości poziomej 47m od anteny sektorowej az. 320°	0,3-2,0	<1,0*	<1,0*	<1,0*	1,3	0,05	51°45'4,7" 19°30'17,6"

Sprawozdanie z badań bez pisemnej zgody laboratorium nie może być powielane inaczej niż w całości.
 Wynik przedstawione w niniejszym sprawozdaniu odnoszą się wyłącznie do badanego obiektu i do warunków i konfiguracji urządzeń w dniu wykonywania pomiarów.

Pole magnetyczne (wyznaczone na podstawie pomiaru wartości natężenia pola elektrycznego)

Nr pionu	Opis umiejscowienia pionu (punktu) pomiarowego	Wysokość pomiaru [m]	Wartość natężenia pola magnetycznego H [A/m] ¹			Wartość natężenia pola magnetycznego powiększona o niepewność pomiaru ⁴ H [A/m]	Wskaźnikowa wartość poziomu emisji pól elektromagnetycznych WM _H ³	Współrzędne geograficzne pionu (punktu) pomiarowego ²
			Sonda SW-23	Sonda SW-24	Wartość			
1	DPP - budynek instalacji, pomieszczenie biurowe, okno otwarte, piętro 2/2, ul. Przybyszewskiego 176	0.3-2.0	<0.003*	<0.003*	<0.003*	0.003	0.05	51°45'3.2" 19°30'18.7"
2	DPP - budynek instalacji, klatka schodowa, okno trwale zamknięte, piętro 2/2, ul. Przybyszewskiego 176	0.3-2.0	<0.003*	<0.003*	<0.003*	0.003	0.05	51°45'3.2" 19°30'19.8"
3	GKP w odległości poziomej 56m od anteny sektorowej az. 90°	0.3-2.0	<0.003*	<0.003*	<0.003*	0.003	0.05	51°45'3.2" 19°30'21.6"
4	GKP w odległości poziomej 100m od anteny sektorowej az. 90°	2.0	0.005	0.005	0.005	0.006	0.08	51°45'3.2" 19°30'24.1"
-	GKP w odległości poziomej 128m od anteny sektorowej az. 90°	2.0	0.005	0.005	0.005	0.007	0.09	51°45'3.2" 19°30'25.6"
6	GKP w odległości poziomej 17m od anteny radioliniowej az. 129°	0.3-2.0	<0.003*	<0.003*	<0.003*	0.003	0.05	51°45'2.9" 19°30'19.4"
7	GKP w odległości poziomej 25m od anteny sektorowej az. 225°	0.3-2.0	<0.003*	<0.003*	<0.003*	0.003	0.05	51°45'2.5" 19°30'17.6"
8	GKP w odległości poziomej 58m od anteny sektorowej az. 225°	2.0	0.005	0.005	0.005	0.006	0.08	51°45'1.8" 19°30'16.6"
9	GKP w odległości poziomej 111m od anteny sektorowej az. 225°	0.3-2.0	<0.003*	<0.003*	<0.003*	0.003	0.05	51°45'0.7" 19°30'14.4"
10	GKP w odległości poziomej 127m od anteny sektorowej az. 225°	0.3-2.0	<0.003*	<0.003*	<0.003*	0.003	0.05	51°45'0.4" 19°30'14.0"
-	GKP w odległości poziomej 161m od anteny sektorowej az. 225°	0.3-2.0	<0.003*	<0.003*	<0.003*	0.003	0.05	51°44'59.6" 19°30'12.6"
12	GKP w odległości poziomej 36m od anteny sektorowej az. 320°	0.3-2.0	<0.003*	<0.003*	<0.003*	0.003	0.05	51°45'4.0" 19°30'17.6"
13	GKP w odległości poziomej 72m od anteny sektorowej az. 320°	0.3-2.0	<0.003*	<0.003*	<0.003*	0.003	0.05	51°45'5.0" 19°30'16.2"
-	GKP w odległości poziomej 246m od anteny sektorowej az. 320°	0.3-2.0	<0.003*	<0.003*	<0.003*	0.003	0.05	51°45'9.4" 19°30'10.4"
15	PKP na az. 104° w odległości poziomej 30m od anteny sektorowej az. 225°	0.3-2.0	<0.003*	<0.003*	<0.003*	0.003	0.05	51°45'2.9" 19°30'20.2"
16	PKP na az. 119° w odległości poziomej 23m od anteny sektorowej az. 90°	0.3-2.0	<0.003*	<0.003*	<0.003*	0.003	0.05	51°45'2.9" 19°30'19.8"
17	PKP na az. 136° w odległości poziomej 12m od anteny sektorowej az. 90°	0.3-2.0	<0.003*	<0.003*	<0.003*	0.003	0.05	51°45'2.9" 19°30'19.1"

Sprawozdanie z badań bez pisemnej zgody laboratorium nie może być powielane inaczej niż w całości.
 Wynik przedstawione w niniejszym sprawozdaniu odnoszą się wyłącznie do badanego obiektu i do warunków i konfiguracji urządzeń w dniu wykonywania pomiarów.

18	PKP na az. 179° w odległości poziomej 14m od anteny sektorowej az. 225°	0.3-2.0	<0.003*	<0.003*	<0.003*	0.003	0.05	51°45'2.5" 19°30'18.7"
19	PKP na az. 195° w odległości poziomej 11m od anteny sektorowej az. 225°	0.3-2.0	<0.003*	<0.003*	<0.003*	0.003	0.05	51°45'2.9" 19°30'18.4"
20	PKP na az. 210° w odległości poziomej 29m od anteny sektorowej az. 225°	0.3-2.0	<0.003*	<0.003*	<0.003*	0.003	0.05	51°45'2.2" 19°30'18.0"
21	PKP na az. 240° w odległości poziomej 28m od anteny sektorowej az. 225°	2.0	0.003	0.003	0.003	0.004	0.06	51°45'2.5" 19°30'17.3"
22	PKP na az. 255° w odległości poziomej 27m od anteny sektorowej az. 225°	0.3-2.0	<0.003*	<0.003*	<0.003*	0.003	0.05	51°45'2.9" 19°30'17.3"
23	PKP na az. 271° w odległości poziomej 28m od anteny sektorowej az. 225°	0.3-2.0	<0.003*	<0.003*	<0.003*	0.003	0.05	51°45'3.2" 19°30'17.3"
24	PKP na az. 274° w odległości poziomej 26m od anteny sektorowej az. 320°	0.3-2.0	<0.003*	<0.003*	<0.003*	0.003	0.05	51°45'3.2" 19°30'17.3"
25	PKP na az. 290° w odległości poziomej 28m od anteny sektorowej az. 320°	0.3-2.0	<0.003*	<0.003*	<0.003*	0.003	0.05	51°45'3.6" 19°30'17.3"
26	PKP na az. 305° w odległości poziomej 28m od anteny sektorowej az. 320°	0.3-2.0	<0.003*	<0.003*	<0.003*	0.003	0.05	51°45'3.6" 19°30'17.6"
27	PKP na az. 335° w odległości poziomej 47m od anteny sektorowej az. 320°	0.3-2.0	<0.003*	<0.003*	<0.003*	0.003	0.05	51°45'4.7" 19°30'17.6"

GKP – Główny Kierunek Pomiarowy

DPP – Dodatkowy Pion Pomiarowy

PKP – Pomocniczy Kierunek Pomiarowy

¹ wyniki oznaczone * są wynikami poniżej czułości zestawu pomiarowego i są wynikami spoza zakresu akredytacji. Do obliczenia wyniku skorygowanego przyjęto wartość skorelowaną z rzeczywistym wynikiem pomiaru - dolną granicę akredytowanego zakresu pomiarowego metody

² współrzędne geograficzne pozyskane metodą pomiaru bezpośredniego

³ do wyznaczenia wartości wskaźnikowej W_{M_E} i W_{M_H} przyjęto na podstawie uzgodnień z klientem oraz rozpoznania źródeł, jako wartości dopuszczalne pola elektrycznego i magnetycznego odpowiednio 28 V/m i 0,073 A/m.

⁴ do wyznaczenia niepewności dla wyników poniżej czułości zestawu pomiarowego, przyjęto niepewność dla minimalnej wartości z zakresu pomiarowego.

⁵ maksymalna wartość chwilowa

Niepewność oszacowano zgodnie z dokumentem P-03 „Procedura nadzoru nad wyposażeniem” w postaci niepewności rozszerzonej wynikającej z niepewności standardowej pomnożonej przez współczynnik rozszerzenia $k=2$.

Całkowita szacowana niepewność rozszerzona składowej E wynosi odpowiednio:

sonda SW-23: 29.1% dla częstotliwości do 4 GHz, sonda SW-24: 26.8% dla częstotliwości do 4 GHz

Pomiar wykonany metodą 2 sond, opisaną w artykule Medycyna Pracy 2015;66(5):701-712 „Optymalizacja metodyki pomiaru wieloczęstotliwościowego pola elektromagnetycznego stacji bazowych telefonii komórkowej”.

Umieszczenie pionów (punktów) pomiarowych przedstawiono w załączniku nr 2 do niniejszego sprawozdania.

Sprawozdanie z badań bez pisemnej zgody laboratorium nie może być powielane inaczej niż w całości.
 Wynik przedstawione w niniejszym sprawozdaniu odnoszą się wyłącznie do badanego obiektu i do warunków i konfiguracji urządzeń w dniu wykonywania pomiarów.

10. Omówienie wyników pomiarów

W związku z tym, że żadna z wartości zmierzonych, udokumentowanych w tabelach w pkt. 9, uzyskanych w skutek zastosowania pomiaru szerokopasmowego, powiększonego o rozszerzoną niepewność pomiaru U dla współczynnika rozszerzenia $k = 2$ nie przekroczyła 70% najniższej dopuszczalnej wartości składowej elektrycznej lub magnetycznej pola dla objętych pomiarami zakresów częstotliwości, nie uwzględnia się poprawek pomiarowych.

W wyniku zastosowania sposobu sprawdzenia dotrzymania dopuszczalnych poziomów pól elektromagnetycznych w środowisku, zgodnie pkt 25 ppkt 1 Rozporządzenia Ministra Klimatu z dnia 17 lutego 2020 r. (Dz. U. 2022, poz. 2630), w związku z tym, że żadna z wartości wskaźnikowych, udokumentowanych w tabelach w pkt. 9 nie przekracza wartości 1, stwierdza się, że w miejscach, w których wykonano pomiary w otoczeniu instalacji radiokomunikacyjnej 9898 (90998N!) PIWNIKA NEW (WLD_LODZ_PRZYBYSZEW176), dopuszczalne poziomy pól elektromagnetycznych w środowisku należy uznać za dotrzymane.

Miejsca niedostępne podczas wykonywania pomiarów wskazane zostały w pkt. 9 (Wyniki pomiarów) lub na załączniku przedstawiającym usytuowanie pionów pomiarowych.

11. Podstawa prawna

- 1) Ustawa z dnia 27 kwietnia 2001 r. Prawo ochrony środowiska (Dz.U. 2024 poz. 54 z późn. zm.)
- 2) Rozporządzenie Ministra Zdrowia z dnia 17 grudnia 2019 r. w sprawie dopuszczalnych poziomów pól elektromagnetycznych w środowisku (Dz. U. 2019, poz. 2448)
- 3) Rozporządzenie Ministra Klimatu z dnia 17 lutego 2020 r. w sprawie sposobów sprawdzania dotrzymania dopuszczalnych poziomów pól elektromagnetycznych w środowisku (Dz. U. 2022, poz. 2630),
- 4) Akredytacja nr AB 419 wydana przez Polskie Centrum Akredytacji (wydanie 22, z dnia 9 stycznia 2024 r.)

12. Spis załączników

- Załącznik 1. Lokalizacja obiektu badań
- Załącznik 2. Usytuowanie pionów (punktów) pomiarowych
- Załącznik 3. Dokumentacja fotograficzna obiektu badań

13. Data wydania i autoryzowania sprawozdania

Obliczenia i sprawozdanie wykonał :

Sprawozdanie autoryzował:



Signed by /
Podpisano przez:

Date / Data:
2025-01-28 15:15

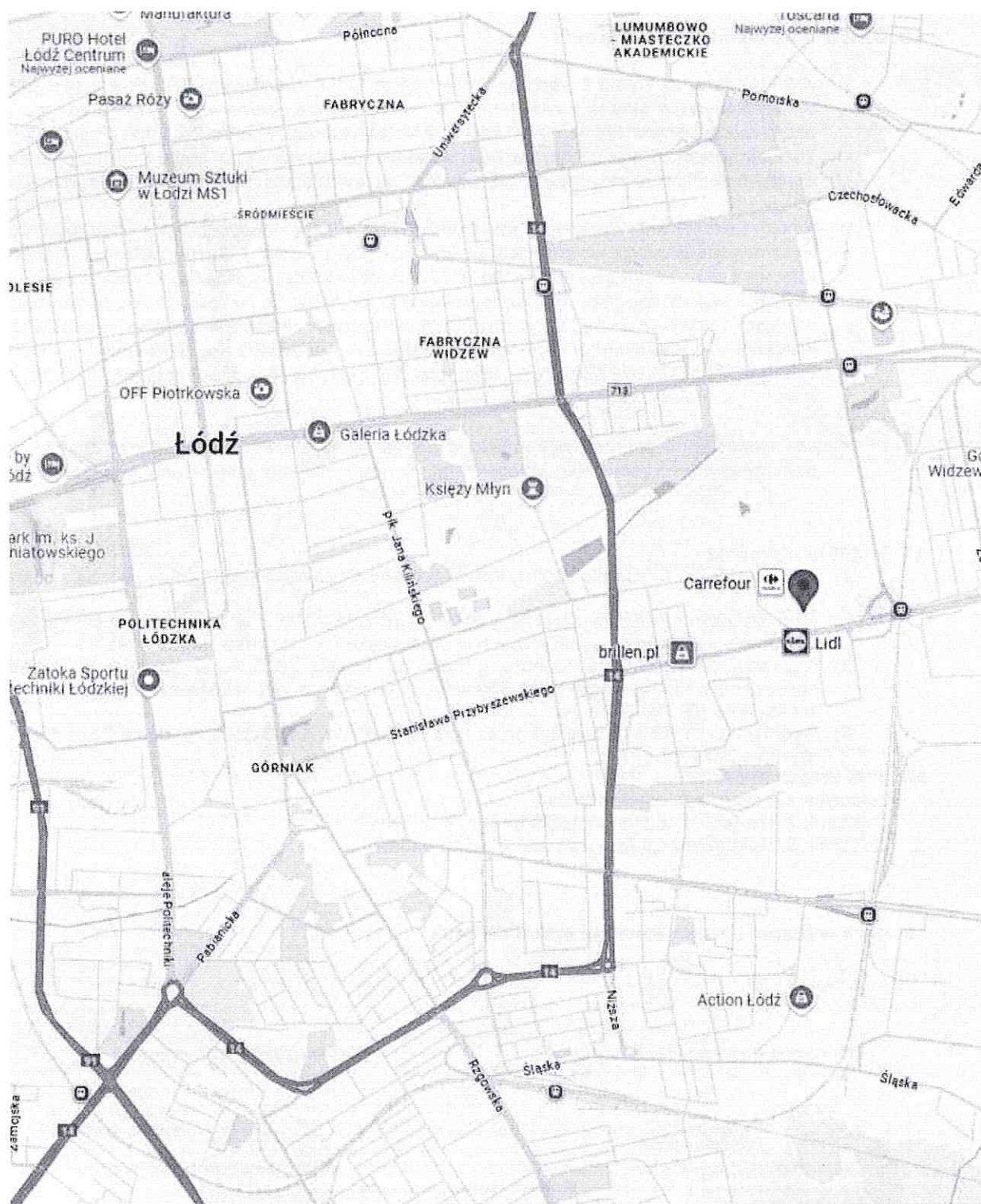
Koniec sprawozdania



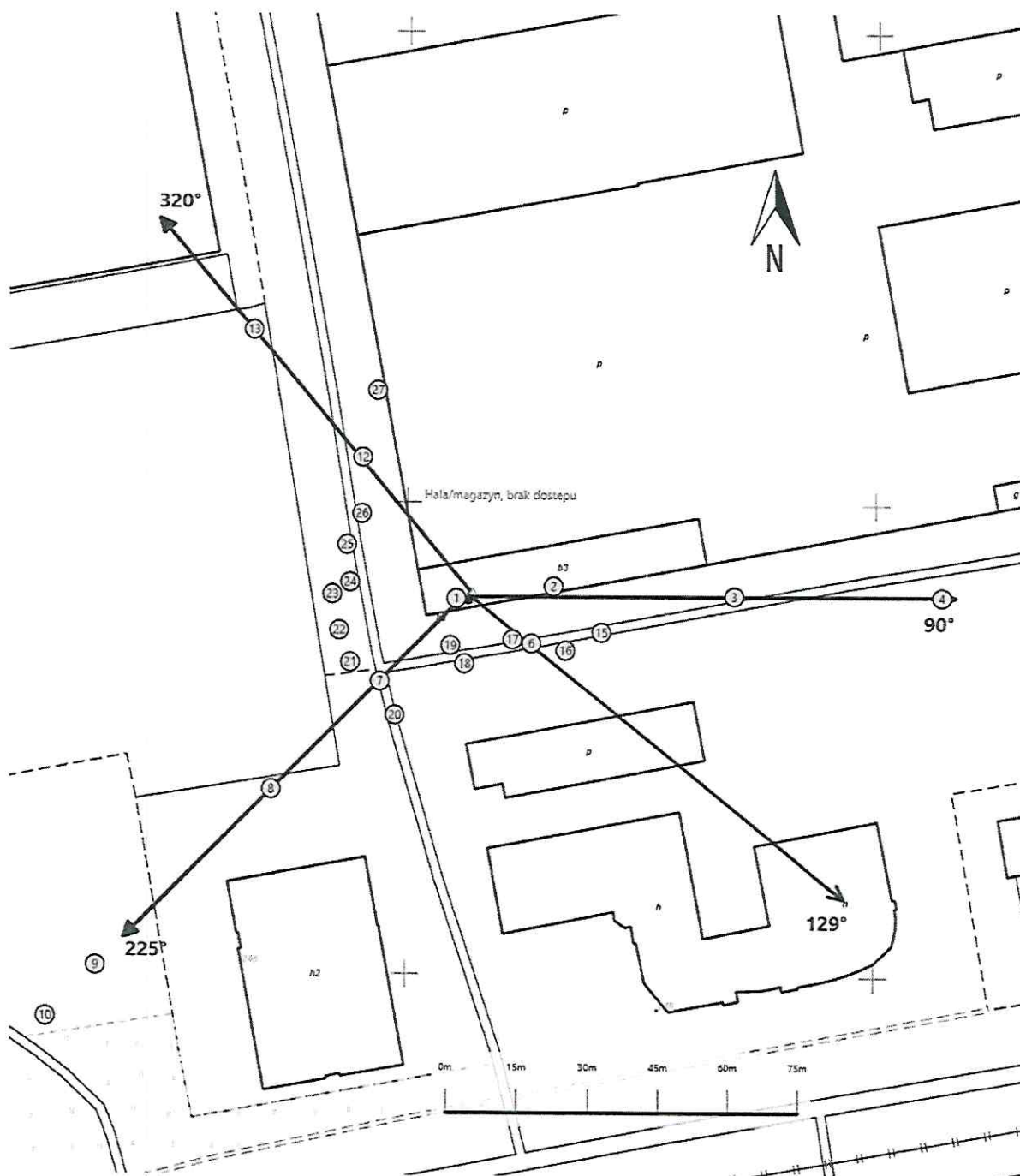
Signed by /
Podpisano przez:






Date / Data: 2025-
01-29 13:59

Sprawozdanie z badań bez pisemnej zgody laboratorium nie może być powielane inaczej niż w całości.
Wynik przedstawione w niniejszym sprawozdaniu odnoszą się wyłącznie do badanego obiektu i do warunków i konfiguracji urządzeń w dniu wykonywania pomiarów.



Załącznik nr 1	Instalacja radiokomunikacyjna Orange Polska S.A. (90998N) PIWNIAK NEW (WLD_LODZ_PRZYBYSZEW176) Lokalizacja instalacji
----------------	---



Załącznik nr 2	Instalacja radiokomunikacyjna Orange Polska S.A. WLD_LODZ_PRZYBYSZEW176 (90998N!) Usytuowanie pionów pomiarowych w otoczeniu instalacji radiokomunikacyjnej
	Legenda:  Źródło pola elektromagnetycznego  Brak dostępu  Pion pomiarowy  Kierunek oddziaływania anten sektorowych  Kierunek oddziaływania anten radioliniowych



Załącznik nr 3

Instalacja radiokomunikacyjna Orange Polska S.A.
(90998N!) PIWNIKA NEW (WLD_LODZ_PRZYBYSZEW176)

Dokumentacja fotograficzna